

717706

КАЗАНСКИЙ ГОСУДАРСТВЕННЫЙ УНИВЕРСИТЕТ



На правах рукописи

*Долганов Сергей Александрович*

**ПОСТРОЕНИЕ КРЫЛОВЫХ ПРОФИЛЕЙ  
ПО ЗАДАНЫМ РАСПРЕДЕЛЕНИЯМ  
ТОЛЩИНЫ И НАГРУЗКИ**

01.02.05 — механика жидкости, газа и плазмы

**АВТОРЕФЕРАТ**

диссертации на соискание ученой степени  
кандидата физико-математических наук

Казань — 2000

Работа выполнена в отделе краевых задач Научно-исследовательского института математики и механики им. Н.Г.Чеботарева Казанского государственного университета.

Научный руководитель: доктор физико-математических наук,  
профессор, Заслуженный деятель науки  
России и Татарстана Н.Б.Ильинский.

Официальные оппоненты: доктор технических наук, профессор,  
Заслуженный деятель науки и техники  
Татарстана В.Г.Павлов,  
  
кандидат физико-математических наук,  
доцент М.С.Галявиева.

Ведущая организация: Самарский государственный  
аэрокосмический университет, г.Самара.

Защита состоится 5 октября 2000 г. в 14 часов 30 минут на заседании диссертационного совета Д053.29.01 при Казанском государственном университете по адресу: 420008, Казань, ул. Кремлевская, 18.

С диссертацией можно ознакомиться в научной библиотеке Казанского государственного университета.

Автореферат разослан 4 сентября 2000 г.

Ученый секретарь диссертационного совета  
кандидат физ.-мат. наук, доцент



НАУЧНАЯ БИБЛИОТЕКА  
КФУ



0000947987

А.А.Саченков



**Актуальность работы.** В последнее время интерес к проблеме построения крыловых профилей, обладающих заранее заданными свойствами, возрос. Сложность в доведении теоретических результатов до числа и графика связана с выполнением условий разрешимости задач и физической реализуемости решений. Поэтому практический и теоретический интерес представляют обратные краевые задачи аэрогидродинамики (ОКЗА), где предпринимается попытка задать такие характеристики, чтобы построенный по ним профиль удовлетворял условиям разрешимости. В настоящей работе изначально задан хордовый закон распределения толщины и нагрузки по искомому профилю. При таком подходе, когда задано распределение толщины, автоматически выполняется условие замкнутости и снимается проблема однолиственности получаемого решения. Второе условие разрешимости — условие совпадения скоростей на бесконечности легко реализуется. Преимущество также еще и в том, что помимо аэрогидродинамических характеристик (распределение нагрузки) задаются и геометрические характеристики искомого профиля (распределение толщины).

**Целью настоящей диссертации** является решение задач аэродинамического проектирования крыловых профилей и прямых решеток профилей численно-аналитическим способом на основе теории ОКЗА по хордовым распределениям толщины и нагрузки; обобщение этих способов на случай дозвукового потока газа и на случай вязкости; разработка вычислительных алгоритмов и их численная реализация; проведение числовых расчетов и их анализ; исследование зависимости статической устойчивости от заданных распределений толщины и нагрузки; модификация распределений толщины и нагрузки с целью улучшения статической устойчивости; построение статически устойчивых крыловых профилей и профилей дельтапланов.

**Научная новизна.** В диссертации разработан численно-аналитический способ решения ОКЗА по хордовой диаграмме толщины и нагрузки для изолированного крылового профиля и прямой однорядной решетки профилей. Построена замкнутая система интегро-дифференциальных уравнений, для решения которой предложен итерационный процесс. Результаты обобщены на случаи учета сжимаемости и вязкости потока газа. Разработан способ модифи-

кации распределений толщины и нагрузки с целью улучшения статической устойчивости и статического равновесия. Построены статически устойчивые изолированный крыловой профиль и профиль дельтаплана. Приведена зависимость перемещений и поворота пилота дельтаплана от угла атаки для сохранения статической устойчивости и равновесия. Разработаны алгоритмы численной реализации решений задач.

**Достоверность полученных результатов обеспечивается:** в аналитических решениях — обоснованным применением математических моделей и методов решения задач, строгостью применяемого математического аппарата; в численных решениях — решением тестовых задач и совпадением с известными результатами.

**Практическая ценность.** Разработанные в диссертации вычислительные алгоритмы и рассчитанные профили могут использоваться для проектирования крыльев и гидродинамических решеток не только в случае идеальной несжимаемой жидкости (ИНЖ), но и с учетом сжимаемости и вязкости потока. Проектировщик может моделировать статически устойчивые и равновесные крыловые профили, а также профили дельтапланов.

**Апробация работы.** Результаты диссертационной работы докладывались: на научных семинарах отдела краевых задач НИИММ им. Н.Г. Чеботарева (руководитель — профессор Н.Б. Ильинский), на итоговых научных конференциях Казанского государственного университета (1996–2000 гг.) и студенческих конференциях Казанского государственного университета (1995–1997 гг.), на II Республиканской научной конференции молодых ученых и специалистов (г. Казань, 1996), на Международной научно-технической конференции "Механика Машиностроения" (г. Набережные Челны, 1997), на Всероссийской молодежной научной школе-конференции по математическому моделированию процессов, геометрии и алгебре (г. Казань, 1997), на Всероссийской междисциплинарной научной конференции "Третьи Вавиловские чтения" (г. Йошкар-Ола, республика Марий Эл, 1999), на Девятом Всероссийском семинаре по управлению движением и навигацией летательных аппаратов (г. Самара, 1999), на Всероссийской научной конференции "Краевые задачи и их приложения" (г. Казань, 1999), на Международной научно-технической конференции молодых ученых и специалистов "Современные проблемы аэрокосмической науки и техники" (г. Жуковский, ЦАГИ, 2000).



Кроме того, тезисы докладов опубликованы в материалах Международной конференции "Математические модели и методы их исследования (задачи механики сплошной среды, экологии, технологических процессов, экономики)" (г.Красноярск, 1999) и Международной научной конференции "Моделирование, вычисление, проектирование в условиях неопределенности — 2000 (г.Уфа, 2000), участия в которых я, к сожалению, принять не смог.

**Публикации.** Основное содержание диссертации опубликовано в 10 работах, список которых приведен в конце автореферата.

**Содержание, структура и объем работы.** Диссертационная работа состоит из введения, четырех глав, заключения и списка литературы. Содержит 125 страниц, 3 таблицы и 29 рисунков. Библиографический список состоит из 102 наименований источников отечественных и зарубежных авторов.

## СОДЕРЖАНИЕ ДИССЕРТАЦИИ

**Во введении** кратко анализируется развитие и состояние задач, посвященных построению крыловых профилей методами ОКЗА. На основе этого обосновываются цели исследования и ее актуальность. Изложено краткое содержание диссертации по главам и сформулированы положения, выносимые на защиту.

**В первой главе** развит численно-аналитический способ Н.Б.Ильинского и Д.В.Полякова<sup>1</sup> построения профилей в несжимаемой жидкости.

В § 1 дан обзор литературы построения крыловых профилей по хордовой диаграмме скорости  $v(x)$ , по распределениям толщины  $h(x)$  и скорости  $v(x)$  по одной из сторон, а также по распределениям толщины  $h(x)$  и нагрузки  $p(x)$ .

Среди большого количества исследований ОКЗА по  $v(x)$  в рамках модели ИНЖ выделяют две основные группы. В первой для решения задачи используются представления искомых функций (потенциала скорости  $\varphi$  и функции тока  $\psi$ ) в виде соответствующих потенциалов. Выражая краевые условия задачи через интегральные представления искомых функций, получают интегро-дифференциальные уравнения, эквивалентные

---

<sup>1</sup>Ильинский Н.Б., Поляков Д.В. Построение крылового профиля с заданными аэродинамическими и геометрическими характеристиками // Изв. вузов. Авиационная техника. — 1994. — № 3. — С. 47-52.

ОКЗА. Решением этих уравнений итерационным способом занимались Т.А.Васильева, З.Х.Нугманов, В.А.Овчинников, В.Г.Павлов, Г.А.Павловец, В.М.Романов, Н.Д.Самознаев, М.Г.Шарафеев. Другой подход к выводу интегральных уравнений методами потенциальной теории заключается в том, что по хорде или средней линии профиля непрерывно распределяются гидродинамические особенности, интенсивности которых подбираются так, чтобы одна из линий тока суммарного течения совпадала с контуром профиля. Такие задачи решали А.Я.Бокарева, Г.И.Майкапар, А.И.Слуцкий.

Вторую группу исследований ОКЗА представляют работы М.С.Галявиевой, Н.И.Глебова, О.М.Киселева, Г.Г.Тумашева, М.Т.Нужина, В.Д.Чугунова, базирующиеся на отыскании конформного отображения внешности единичного круга в канонической плоскости на внешность искомого профиля в физической плоскости. Различные итерационные способы решения ОКЗА по хордовой диаграмме, основанные на конформных отображениях, развиты в работах Г.И.Костычева, Л.Я.Панова, Р.Б.Салимова, П.Н.Шкляева, В.М.Шурыгина, J.Sato. Для удовлетворения условиям разрешимости используются различные приемы.

В отдельную группу следует выделить работы Н.Б.Ильинского, Д.В.Полякова, С.Д.Косторного, А.А.Литвиенко, в которых требуется найти форму крылового профиля по заданным распределениям толщины  $h(x)$  и скорости  $v(x)$  на одной из его сторон. Для вывода интегро-дифференциальных уравнений был использован либо метод конформных отображений, либо потенциалов. Одинаковой по постановке с нашей работой является работа А.Д.Хамзаева<sup>2</sup>, где методами потенциальной теории решается ОКЗА по распределениям толщины  $h(x)$  и нагрузки  $p(x)$ . В нашей работе решение этой задачи основано на теории конформных отображений.

В § 2 приведена постановка ОКЗА по хордовой диаграмме толщины и нагрузки и построено аналитическое решение. Искомый непроницаемый крыловой профиль  $ABC$  (рис. 1, а, сплошная линия) с гладким контуром и острой кромкой  $B$  в физической плоскости  $z = x + iy$  обтекается плоскопараллельным установившимся потенциальным потоком ИНЖ с заданной величиной  $v_\infty$  скорости на беско-

---

<sup>2</sup>Хамзаев А.Д. Итерационный метод решения смешанной обратной задачи для крыла конечного размаха при заданных распределениях толщины и нагрузки. — Москва. — 1990. — 14с. — Деп. в ВИНТИ АН СССР. 08.08.85. — № 5942-85.

нечности. Система координат выбрана так, что ось абсцисс направлена вдоль хорды профиля (отрезка, соединяющего максимально удаленные точки профиля), а начало координат совпадает с передней кромкой  $C$ . Длина хорды  $b$  принята за единицу. Предполагается, что любая прямая, параллельная оси ординат, пересекает искомый контур не более чем в двух точках. Вдоль искомого профиля  $L_z$  задано распределение толщины  $h(x)$  (рис. 1, б, сплошная линия) и нагрузки  $p(x)$  (рис. 1, в). По указанным исходным данным требуется найти форму соответствующего профиля, угол атаки  $\alpha$  и коэффициент подъемной силы  $c_y$ .

Под толщиной профиля  $h(x)$  понимается разность ординат  $y_u$  и  $y_l$  точек контура по верхней и нижней поверхностям, лежащих на одной вертикальной прямой:  $h(x) = y_u(x) - y_l(x)$ . Тогда  $h(x)$  — непрерывная и однозначная функция, причем  $h(x) > 0$  при  $x \in (0, b)$  и  $h(0) = h(b) = h'(b) = 0$ . Распределение нагрузки  $p(x)$  также является непрерывной и однозначной функцией с условием  $p(0) = p(b) = 0$  и представляет собой разность коэффициентов давления  $c_{pu}$  и  $c_{pl}$  по верхней и нижней поверхностям профиля:  $p(x) = c_{pu}(x) - c_{pl}(x)$ .

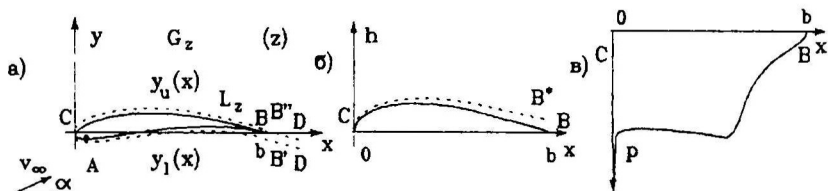


Рис. 1

Построено аналитическое решение этой задачи, основанное на отыскании конформного отображения внешности единичного круга в канонической плоскости  $\zeta$  на внешность искомого профиля в физической плоскости  $z$  с учетом нормировки  $z(\infty) = \infty$ ,  $z(1) = 1$ . Используя связь производных отображающих функций, для верхней стороны  $\gamma_u \equiv \gamma \in [0, \gamma_0]$  контура профиля получено соотношение

$$x(\gamma_u) = R_1(x, y, p, v, U_0, \beta; \gamma_u), \quad (1)$$

где  $\gamma_0$  — прообраз передней кромки,  $U_0$  — скорость на бесконечности в плоскости  $\zeta$ ,  $\beta$  — угол атаки в канонической области,  $\gamma$  — дуговая координата в канонической области ( $\zeta = e^{i\gamma}$ ). Параметры  $\gamma_0$ ,  $U_0$ ,  $\beta$  — неизвестны.

В силу предположений, сделанных относительно формы контура профиля, функция  $x(\gamma)$  должна быть непрерывной, иметь два участка монотонности и удовлетворять условиям

$$x(\gamma_0) = 0, \quad x'(\gamma_0) = 0, \quad (2)$$

а также условию  $x(0) = 1$ . Для нижней стороны  $\gamma_l \equiv \gamma \in [\gamma_0, 2\pi]$  контура профиля, исходя из заданной толщины, можно записать соотношение для функции  $y(\gamma_l)$ :

$$y(\gamma_l) = R_2(x, y, h; \gamma_l), \quad \gamma_l = \gamma_l(\gamma_u). \quad (3)$$

Для замыкания системы уравнений относительно функций  $x(\gamma)$  и  $y(\gamma)$  вводится вспомогательная аналитическая и непрерывная в канонической области  $G_\zeta$  функция  $\chi(\zeta) = z'(\zeta)$ . Для ее определения получена смешанная краевая задача с граничными условиями

$$f_1(\gamma_u) = \operatorname{Re} \chi(e^{i\gamma_u}) = R_3(x', y'; \gamma_u), \quad f_2(\gamma_l) = \operatorname{Im} \chi(e^{i\gamma_l}) = R_4(x', y'; \gamma_l).$$

В результате ее решения численным методом определены

$$x(\gamma) = R_5(f_1, f_2; \gamma), \quad y(\gamma) = R_6(f_1, f_2; \gamma). \quad (4)$$

Соотношения (1), (3), (4) совместно с условиями (2) при фиксированном  $\gamma_0$  составляют замкнутую систему интегро-дифференциальных уравнений относительно функций  $x(\gamma)$  и  $y(\gamma)$ , связывающую их друг с другом и с заданными величиной  $v_\infty$ , распределениями  $p(x)$ ,  $h(x)$  и неизвестными параметрами  $U_0$  и  $\beta$ .

В § 3 построен метод последовательных приближений решения системы интегро-дифференциальных уравнений и проведены числовые расчеты. В качестве начальных приближений задаются функции  $x^{(0)}(\gamma) = x(\gamma^{(0)}; \gamma)$ ,  $y^{(0)}(\gamma_u) = y(\gamma_u^{(0)}; \gamma_u)$ ,  $v^{(0)}(\gamma_l) = v(\gamma_l^{(0)}; \gamma_l)$ , снятые с руля Жуковского, и величина  $\gamma_0^{(0)}$ . Пусть  $x^{(n-1)}(\gamma)$  и  $y^{(n-1)}(\gamma)$  есть  $(n-1)$ -е приближение решения системы уравнений. Функции  $x^{(n)}(\gamma)$  и  $y^{(n)}(\gamma)$  определяются следующим образом:

$$x^{(n)}(\gamma_u) = R_1(x^{(n-1)}, y^{(n-1)}, p, v^{(n-1)}, U_0^{(n)}, \beta^{(n)}; \gamma_u),$$

$$y^{(n)}(\gamma_l) = R_2(x^{(n-1)}, y^{(n-1)}, h; \gamma_l),$$

здесь величины  $U_0^{(n)}, \beta^{(n)}$  являются решениями системы (2), представляющей два нелинейных уравнения. После решения смешанной краевой задачи для вспомогательной функции  $\chi(\zeta)$  получим:

$$f_1^{(n)}(\gamma_u) = R_3(x^{(n)}, y^{(n-1)}; \gamma_u), \quad f_2^{(n)}(\gamma_l) = R_4(x^{(n-1)}, y^{(n)}; \gamma_l),$$

$$x^{(n)}(\gamma_u) = R_5(f_1^{(n)}, f_2^{(n)}; \gamma_u), \quad x^{(n)}(\gamma_l) = \frac{U_0^{(n)}}{U_*^{(n)}} R_5(f_1^{(n)}, f_2^{(n)}; \gamma_l),$$

$$y^{(n)}(\gamma) = R_6(f_1^{(n)}, f_2^{(n)}; \gamma),$$

где величина  $U_*^{(n)}$  вычисляется из условия  $x(2\pi) = 1$ . Итерационный процесс продолжается до тех пор, пока не будет выполнено условие  $D(n) = |z^{(n)}(\gamma) - z^{(n-1)}(\gamma)| \leq \mu_1$ , где  $\mu_1$  заданное малое число. Для нахождения прообраза передней кромки  $\gamma_0^{(n)}$  в канонической области (т.к. равенство  $U_0 = U_*$  при произвольно заданном начальном  $\gamma_0^{(0)}$  не выполняется) организуем внешний итерационный процесс, аналогичный предложенному М.С.Галявиевой<sup>3</sup>, который продолжается до тех пор, пока  $G(\gamma_0^{(n)}) = U_0^{(n)}/U_*^{(n)} - 1 \leq \mu_2$ , где  $\mu_2$  заданное малое число.

Представлены результаты тестовых и проектировочного расчетов, иллюстрирующие эффективность и быстродействие предложенного способа. Для достижения точности  $\mu_1 = \mu_2 = 10^{-3}$  требуется в среднем 13-16 внешних итераций, включающих 5-7 внутренних. Расчетное время на Pentium-100 (32 Mb) около двух минут. При нулевой толщине профиль получается в виде линии, причем скорость в передней кромке принимает большое значение, если точка разветвления потока не совпадает с ней. При нулевой нагрузке получается симметричный профиль. Необходимо заметить, что не при любых заданных распределениях толщины и нагрузки получается замкнутый и не самопересекающийся контур профиля, хотя итерационный процесс сходится с заданными невязками. Это объясняется тем, что произвольному распределению толщины не всегда соответствует заданное распределение нагрузки и наоборот. Числовые расчеты показали, что, модифицируя распределения толщины или нагрузки, можно добиться желаемого результата, т.е. построить замкнутые простые (без самопересечений) контуры крылового профиля.

<sup>3</sup>Галявиева М.С. Построение крыловых профилей по хордовой диаграмме скорости с использованием квазираешений обратных краевых задач // Изв. вузов. Авиационная техника. — 1990. — № 4. — С. 56-59.

Во **второй главе** дано обобщение предложенного в первой главе способа на случаи учета сжимаемости и вязкости потока.

В § 4 представлен обзор литературы по решению ОКЗА с учетом сжимаемости и вязкости потока. Описаны подходы, состоящие в сведении ОКЗА для газа к задаче для несжимаемой жидкости. Указаны работы М.С.Галиевской, Д.А.Фокина, L.C.Woods, где применялась формула Кармана-Цзяна, связывающая коэффициент давления на профиле для несжимаемой жидкости и для газа. Дан обзор работ М.С.Галиевской, Н.И.Глебова, Н.Б.Ильинского, В.В.Клокова, М.Т.Нужина, А.В.Поташева, Г.Г.Тумашева, Д.А.Фокина, А.А.Шагаева, R.K.Daripa, L.Sirovich, T.Strand'a, L.C.Woods, в которых использовался подход, основанный на замене адиабатического потока газом Чаплыгина. Приведен обзор работ А.Н.Ильинского, А.В.Поташева, Л.Л.Лебедева, Г.Ю.Степанова, T.D.Beatty, J.G.Callaghan, H.Dutt, J.L.Van Ingen, A.K.Srekanth, по учету вязкости, в которых использована модель пограничного слоя (ПС). Описан способ решения ОКЗА с использованием на основе метода Кочина-Лойцянского расчета безотрывного турбулентного ПС с применением уточняющих формул А.И. Каменецкого.

В § 5 решена задача построения крылового профиля для дозвукового потока газа. Постановка этой задачи отличается от постановки, предложенной в § 2 тем, что искомый непроницаемый крыловой профиль  $ABC$  (рис. 1, а) обтекается в физической плоскости потенциальным потоком сжимаемой жидкости с заданным числом Маха  $M_\infty$ .

Простейший способ ее решения основан на использовании формулы Кармана-Цзяна, устанавливающей приближенную связь между коэффициентами давления  $c_p$  и  $c_{p_2}$  при обтекании тел несжимаемой жидкостью и газом. Применяя эту формулу, осуществляется переход от распределения нагрузки в сжимаемой среде  $p_2(x)$  к распределению нагрузки  $p(x)$  в ИНЖ:

$$p(x) = k_1 p_2(x) / ([1 - k_2(p_2(x) - c_{p_{el}}(x))][1 - k_2 c_{p_{el}}(x)]),$$

где  $k_1 = (1 - M_\infty^2)^{1/2}$ ,  $k_2 = 0.5(1 - k_1)$ . Решив ОКЗА по модели ИНЖ, найдем форму профиля по  $h(x)$  и  $p(x)$  по формулам § 2. Отличие в том, что изначально неизвестно распределение  $p(x)$ , т.к. неизвестно распределение коэффициента давления  $c_{p_{el}}(x)$  по нижней поверхности. Внутренний итерационный процесс организован так, что в ходе

решения задачи определяется распределение нагрузки  $p(x)$ . Этот процесс сходится, если после  $n$ -ой итерации выполняется условие невязки  $|p^{(n)}(x) - p^{(n-1)}(x)| \leq \mu_1$ . Приведены результаты и анализ числовых расчетов. Сделан вывод, что при увеличении  $M_\infty$ , например, от 0,0 до 0,6 кривизна профиля уменьшается (рис. 2, а, сплошная и штриховая линии), значения приведенных скоростей по профилям увеличивается по верхней поверхности (рис. 2, б), причем углы атаки уменьшаются.

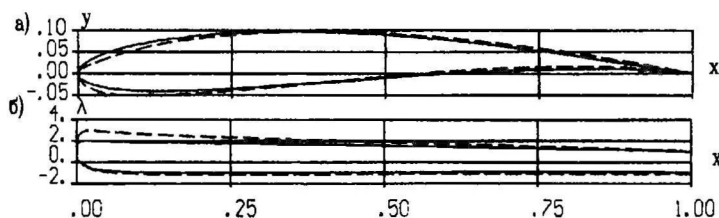


Рис. 2

В § 6 решена задача построения крылового профиля с учетом вязкости потока по модели ПС. Дана постановка ОКЗА, которая отличается от постановки, предложенной в § 2 тем, что искомый крыловой профиль обтекается безотрывно вязкой несжимаемой жидкостью с заданным числом Рейнольдса  $Re_\infty$ .

Способ решения основан на методе Кочина-Лойцянского расчета ПС. Задача сведена к нахождению полутела вытеснения  $B'CB''$  (рис. 1, а, пунктирная линия) и толщины вытеснения  $\delta^*(x)$  по заданным на участке  $BC$  распределениям  $h(x)$  и  $p(x)$  и условию, что линии тока  $B'D$  и  $B''D$  являются конгруэнтными. Задано начальное приближение распределения толщины  $BC^*$  полутела  $B'CB''$  как  $h^{(0)}(x) = h(x) + h_{\delta^*}^{(0)}(x)$  (рис. 1, б, пунктирная линия), которое удовлетворяет условиям  $h(1) \neq 0$  и  $h'(1) = 0$ , где  $h_{\delta^*}^{(0)}(x)$  — нулевое приближение разности толщин вытеснения  $\delta_u^{*(0)}$  и  $\delta_l^{*(0)}$  по верхней и нижней поверхностям. По распределениям  $h^{(0)}(x)$  и  $p(x)$  построен контур полутела вытеснения и рассчитано новое распределение толщины вытеснения  $h_{\delta^*}^{(1)}(x) = \delta_u^{*(1)}(x) - \delta_l^{*(1)}(x)$  по скорости  $v^{(1)}(x)$ . Учитывая безотрывный характер обтекания, т.е. малость толщины ПС, дуговые абсциссы контуров профиля и полутела вытеснения на участке  $B'CB''$  считаем совпадающими. По новому распределению толщины  $h^{(1)}(x) = h(x) + h_{\delta^*}^{(1)}(x)$  и распределению нагрузки  $p(x)$  построено новое полутело вытеснения  $B'CB''$  и т.д. Процесс продолжается до тех

пор, пока  $|h^{(n)}(x) - h^{(n-1)}(x)| \leq \mu_1$ . Чтобы найти форму самого профиля, делается отступление на участке  $B'CB''$  внутрь полутела на толщину вытеснения  $\delta^*(x)$ . Приведены результаты и анализ числовых расчетов. Сделан вывод, что при уменьшении  $Re_x$  от  $\infty$  до  $10^5$  кривизна профилей уменьшается (рис. 3, а, сплошная и штриховая линии), распределение скоростей по профилям растет (рис. 3, б), а углы атаки увеличиваются.

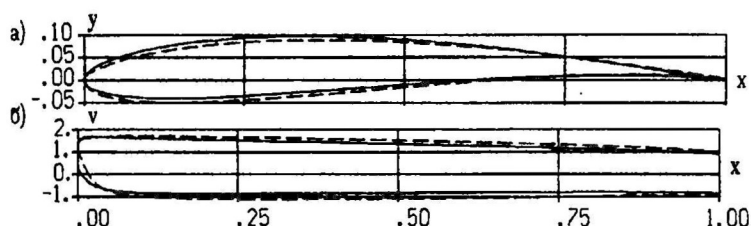


Рис. 3

Третья глава посвящена построению профилей гидродинамической решетки.

В § 7 приведен обзор литературы по построению прямых однорядных решеток. Содержится описание работ Л.А.Дофмана, М.И.Жуковского, Г.И.Костычева, Г.Г.Тумашева, в которых выбираются различные канонические области при решении ОКЗА построения решеток методами теории функций комплексного переменного.

В § 8 дана постановка ОКЗА и предложен способ ее решения для прямой решетки профилей, основанный на комплексном использовании метода, предложенного в работе Н.Б.Ильинского, Г.Р.Исмагиловой, А.В.Поташева,<sup>4</sup> и способа из § 2. Искомая прямая однорядная гидродинамическая решетка заданного шага  $t$  и глубины  $b = 1$  (рис. 4, а) состоит из профилей с непроницаемым контуром  $L_z$ , гладким за исключением задней кромки  $B$ , являющейся точкой возврата. Декартова система координат в физической плоскости  $z = x + iy$  задана так, что ось  $Oy$  параллельна фронту решетки и касается передних кромок профилей в точке  $C$ , а ось  $Ox$  проходит через заднюю кромку  $B$  одного из профилей. Требуется найти форму  $L_z$ ,

<sup>4</sup>Ильинский Н.Б., Исмагилова Г.Р., Поташев А.В. Обратные краевые задачи для гидродинамических решеток профилей // Препринт № 94—3. — Казань: Казан. гос. универ. — 1994. — 84с.



если известно распределение толщины профиля  $h(x)$ ,  $x \in [0, b]$  (рис. 4, б) и нагрузки  $p(x)$ ,  $x \in [0, b]$  (рис. 4, в) в предположении, что решетка обтекается плоским потенциальным потоком ИНЖ с заданной плотностью  $\rho$  и скоростью на бесконечности перед решеткой  $\vec{v}_1 = v_1 e^{i\theta_1}$ .

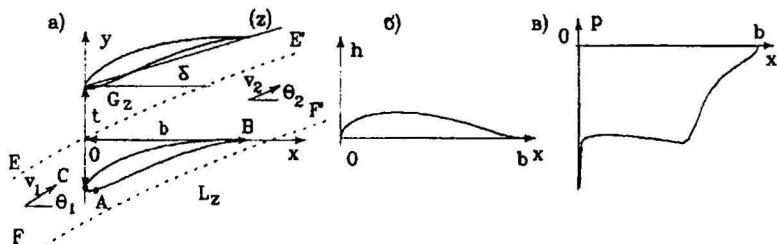


Рис. 4

Предложено аналитическое решение, основанное на отыскании конформного отображения внешности единичного круга в плоскости  $\zeta$  с симметричными точками ветвления  $\zeta = \pm R$ ,  $R > 1$  на внешность искомого профиля в физической плоскости  $z$  с нормировкой  $z(\pm R) = \pm\infty$ ,  $z(\zeta_2) = 1$ , где  $\zeta_2 = e^{i\beta_2}$  — образ задней кромки  $B$  в плоскости  $\zeta$ . Аналитическую связь  $w = w(\zeta)$  установил Н.Е. Кочин<sup>5</sup> путем сопоставления простейших течений в областях  $G_z$  и  $G_{\bar{\zeta}}$ . Далее аналогично § 2 получена система интегро-дифференциальных уравнений относительно искомых функций  $x(\gamma)$  и  $y(\gamma)$ , связывающая их друг с другом и с заданными величинами  $v_1$ ,  $\theta_1$ ,  $t$  и распределениями  $p(x)$ ,  $h(x)$  и с неизвестными  $R$  и  $\gamma_0$ . В решении этой задачи есть существенные отличия от § 2. Функция  $z(\zeta)$  имеет особенности в точках  $\zeta = \pm R$  области  $G_{\bar{\zeta}}$ , поэтому вместо нее удобнее рассмотреть аналитическую в  $G_{\bar{\zeta}}$  функцию  $\chi(\zeta) = z'(\zeta)\chi_1(\zeta)$ , где  $\chi_1(\zeta) = (\zeta^2 - R^2)(\zeta^2 - 1/R^2)$ . В связи с этим система уравнений усложняется. Ясно, что для выполнения двух условий (2) и  $x(\beta_2 + 2\pi) = 1$ , накладываемых на искомый профиль, недостаточно двух параметров  $R$  и  $\gamma_0$ . Поэтому для замыкания системы будем считать, что величина  $v_1$  является искомой. Этот факт является отражением некорректности обратных задач (решение получается не при любых исходных данных).

В § 9 описан итерационный способ решения, аналогичный способу из § 3. Появилась трудность в определении параметров  $v_1$  и  $R$  из

<sup>5</sup>Кочин Н.Е. Гидродинамическая теория решеток. — М.-Л.: Изд-во технико-теор. литературы. — 1949. — 103с.

условий (2), представляющих два нелинейных уравнения. Использование, например, стандартного метода Ньютона не подходило, потому что требовались начальные приближения близкие к искомым значениям. Поэтому был выбран усовершенствованный алгоритм наискорейшего спуска<sup>6</sup>. Приведены тестовые расчеты, показывающие сходимость итерационного процесса. В одном из тестовых расчетов проиллюстрирована работоспособность и точность алгоритма при сравнении построения изолированного профиля с его аналогом — профилем решетки с бесконечным шагом. Проведены числовые расчеты построения решеток по одинаковым распределениям толщины  $h(x)$  и нагрузки  $p(x)$  при переменном шаге  $t$  (0,70, 0,85, 1,00, 5,00), что соответствует 1,2,3,4 линиям (рис. 5) и при переменном угле атаки перед решеткой  $\theta_1$ . Из результатов числовых расчетов сделаны выводы о влиянии увеличения угла  $\theta_1$  и шага  $t$  перед решеткой на скорость  $v_1$ , углы  $\alpha$ ,  $\delta$  и угол поворота потока  $\Delta\theta$ . Так, например, уменьшение шага решетки приводит к увеличению скорости  $v_1$  и угла  $\Delta\theta$ ; к уменьшению угла  $\delta$ ; к уменьшению, а затем росту угла  $\alpha$ .

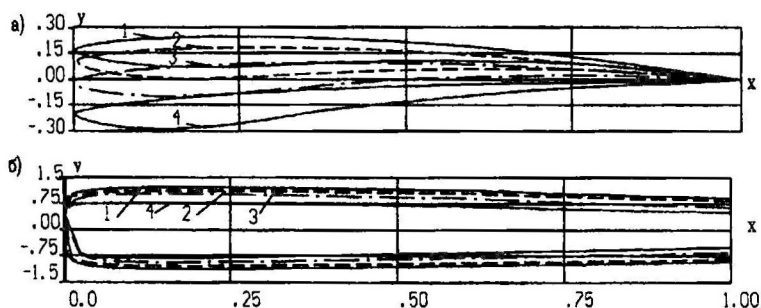


Рис. 5

В § 10 даны постановка ОКЗА и способ решения для прямой решетки профилей в случае дозвукового потока газа. Отличие лишь в том, что изначально задана приведенная скорость  $\lambda_1$  перед решеткой, а неизвестной величиной в отличие от постановки из § 8 является угол  $\theta_1$ . Использован способ учета сжимаемости, основанный на применении формулы Кармана-Цзяна (аналогично § 5). Из числовых расчетов следует, что при решении задачи можно принимать за неизвестную величину угол  $\theta_1$  вместо скорости  $v_1$ . Проведены

<sup>6</sup>Мину М. Математическое программирование. Теория и алгоритмы: Пер. с франц. и предисловие А.И. Штерна. — М.: Наука. — 1990. —488с.

проектировочные расчеты при изменении числа Маха перед решеткой  $M_1$ . Увеличение  $M_1$  приводит к уменьшению по модулю угла  $\delta$  и угла  $\alpha$ ; к увеличению угла  $\theta_1$  и  $\Delta\theta = |\theta_1 - \theta_2|$ .

В четвертой главе рассмотрена задача построения статически устойчивых изолированных крыловых профилей и профилей дельтапланов.

В § 11 введены понятия продольной статической устойчивости. Показана зависимость аэродинамических характеристик фокуса по углу атаки  $\bar{x}_{F_\alpha}$  и центра давления  $\bar{x}_\partial$ , отвечающих за продольную статическую устойчивость и статическое равновесие, друг от друга  $\bar{x}_{F_\alpha} = \bar{x}_\partial + m_{z_0}/c_y$ , где  $m_{z_0}$  — коэффициент момента тангажа относительно передней кромки. Приведены определения статического равновесия и статической устойчивости.

В § 12 строится статически устойчивый крыловой профиль. Записан критерий статической устойчивости

$$\bar{x}_m - \bar{x}_{F_\alpha} < 0 \quad (5)$$

и условие статического равновесия

$$\bar{x}_m - \bar{x}_\partial = 0, \quad (6)$$

где  $\bar{x}_m$  — центр массы профиля. Показана зависимость геометрической и аэродинамической характеристик центра масс  $\bar{x}_m$  и центра давления  $\bar{x}_\partial$  от распределений толщины  $h(x)$  и нагрузки  $p(x)$ :

$$\bar{x}_m = \frac{\int_0^b \rho(x)h(x)xdx}{\int_0^b \rho(x)h(x)dx}, \quad \bar{x}_\partial = \frac{\int_0^b p(x)xdx}{\int_0^b p(x)dx},$$

где  $\rho(x)$  — распределение плотности в крыле, характеризующее неоднородность материала крыла и влияние установленного в нем оборудования. Для обеспечения статической устойчивости и статического равновесия приведен способ модификации распределений  $h(x)$  и  $p(x)$  так, чтобы они соответствовали заданным величинам  $\bar{x}_m$  и  $\bar{x}_\partial$  и минимально отличались от исходных распределений в смысле минимизации функционалов  $T_j = \int_0^1 |q_j^*(x) - q_j(x)|^2 dx \rightarrow \min$  ( $j = 1, 2$ ), где  $q_1 = h$ ,  $q_2 = p$ . Например, новое распределение  $h^*(x)$  представлено в виде  $h^*(x) = h(x) + f(x)$ , где  $f(x)$  — гладкая непрерывная функция,

которая должна удовлетворять определенным условиям. Для определения функции  $f(x)$  решается оптимизационная задача минимизации функционала  $T_1$  с введением штрафной функции методом циклического покоординатного спуска. Приведены результаты проектировочного расчета, демонстрирующие возможность предложенного способа для проектирования статически устойчивого крылового профиля, обтекаемого в равновесном режиме при балансировочном угле атаки и известной функции плотности  $\rho(x)$ .

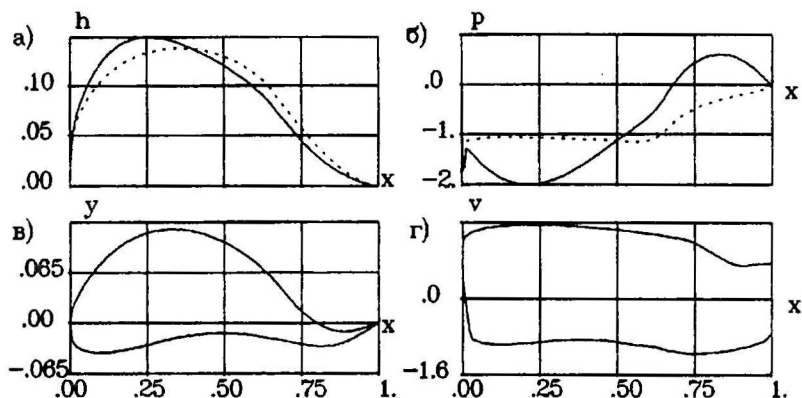


Рис. 6

Были взяты распределения  $h(x)$  (рис. 6, а, пунктирная линия) и  $p(x)$  (рис. 6, б, пунктирная линия) с профиля RAF-34 с относительной толщиной  $\bar{c} = 13,77\%$  хорды при обтекании со скоростью набегающего потока  $v_\infty = 1$  и угле атаки  $\alpha = 3,58^\circ$ . По этим распределениям подсчитаны характеристики  $\bar{x}_m = 22,3\%$ ,  $\bar{x}_d = 39,3\%$  и  $\bar{x}_{F_a} = 20,7\%$ . Видно, что критерий (5) и условие (6) не выполняются, т.е. профиль неустойчив и не находится в статическом равновесии. При подготовке исходных данных к проектированию устойчивого профиля с целью удовлетворения критерию (5) и условию (6) были смещены центры массы и давления в одну точку  $\bar{x}_m = \bar{x}_d = 20,0\%$ . По новым полученным распределениям толщины (рис. 6, а, сплошная линия) и нагрузки (рис. 6, б, сплошная линия) построен статически устойчивый ( $\bar{x}_{F_a} = 26,2\%$ ) и равновесный профиль (рис. 6, в) при балансировочном угле атаки  $\alpha = 5,9^\circ$ . Определено распределение скорости по построенному крыловому профилю (рис. 6, г).

В § 13 построен статически устойчивый профиль дельтаплана. Дана постановка задачи, отличающаяся от постановки из § 2 тем, что введено понятие центра массы пилота (ЦМП)  $\bar{x}_n$ , который лежит на или ниже хорды в точке  $A$ , причем заданы расстояния  $OA' = r$ ,  $OA = l$ , а также угол  $\angle O'O A = \alpha_1$  (рис. 7, а), вес пилота составляет  $k = 0,8$  от полетного. Необходимо определить аэродинамические характеристики профиля дельтаплана и построить диаграммы перемещений и поворота тела пилота, которые необходимы для сохранения продольной статической устойчивости в физически реализуемом диапазоне углов атаки.

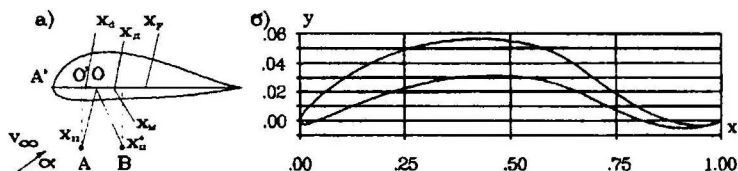


Рис. 7

По заданным распределениям толщины и нагрузки был построен статически устойчивый и равновесный профиль дельтаплана (рис. 7, б) по способу, изложенному в § 2.

Построены зависимости перемещений ЦМП  $\bar{x}_n$  от угла атаки  $\alpha \in [5^\circ - 35^\circ]$ . В первом случае принято, что ЦМП  $\bar{x}_n$  находится на хорде и совпадает с общим центром массы аппарата  $\bar{x}_x$  (дельтаплан—пилот). Во втором случае, в отличие от первого, центр массы дельтаплана  $\bar{x}_d$  учитывается, т.е.  $\bar{x}_n$  рассчитывается по формуле  $\bar{x}_n = \bar{x}_d + \bar{x}_x(1 - k^{-1})$ . В обоих случаях продольная статическая устойчивость дельтаплана сохраняется в заданном диапазоне углов атаки. Из анализа зависимости  $\alpha = \alpha(\bar{x}_n)$  следует, что при малых перемещениях ЦМП вплоть до самых малых углов атаки крыло остается устойчивым, т.е. эффективность управления высока.

Построена зависимость угла поворота  $\omega$  ЦМП вокруг точки  $O$  от угла атаки  $\alpha$ , когда первоначально ЦМП  $\bar{x}_n$  находится ниже плоскости крыла в точке  $A$ . Углы поворота  $\omega$  ЦМП, которым соответствовали новые положения ЦМП  $\bar{x}_n = \bar{x}_n^*$  (рис. 7, а, точка  $B$ ), рассчитывались по зависимости  $\omega = \omega(\bar{x}_n, r, l, \alpha_1)$ . При расчетах были заданы следующие характеристики: постоянная  $r$  и варьируемые  $l$  и  $\alpha_1$ . Максимальный поворот пилота для диапазона углов атаки

$\alpha \in [5^\circ - 35^\circ]$  составляет  $\omega = 6, 2^\circ$ . Из анализа зависимости  $\alpha = \alpha(\omega)$  следует, что небольшому повороту тела соответствует значительное возрастание угла атаки, т.е. сохраняется хорошая управляемость.

В заключении сформулированы основные результаты и выводы.

## ОСНОВНЫЕ РЕЗУЛЬТАТЫ

1. Численно-аналитический способ построения крылового профиля по распределениям толщины и нагрузки при обтекании идеальной несжимаемой жидкостью, дозвуковым потоком идеального газа и вязкой жидкостью.

2. Численно-аналитический способ решения обратных краевых задач аэрогидродинамики для гидродинамической решетки профилей в случаях идеальной несжимаемой жидкости и дозвукового потока идеального газа.

3. Применение разработанного способа к проектированию статически устойчивых крыловых профилей и профилей дельтапланов.

4. Алгоритмы численной реализации построенных решений, результаты числовых расчетов и сделанные на их основе выводы.

Следует отметить финансовую поддержку Соросовской программы образования в области точных наук (ISSEP, гранты (S96-127, S97-1901, A98-546), Российского фонда фундаментальных исследований (РФФИ, проекты №94-01-00992, №96-01-00112, №99-01-00365) и программы "Университеты России", позволивших ускорить выполнение диссертации.

## СПИСОК ОПУБЛИКОВАННЫХ РАБОТ ПО ТЕМЕ ДИССЕРТАЦИИ

1. Долганов С.А., Ильинский Н.Б., Поляков Д.В. Построение статически устойчивого крылового профиля // Тезисы докладов II Республиканской научной конференции молодых ученых и специалистов. — Казань. — 1996. — С. 20.

2. Долганов С.А., Ильинский Н.Б., Поляков Д.В. Итерационный метод определения формы статически устойчивых крыловых профилей // Тезисы докладов Международной научно-технической конференции "Механика Машиностроения". — Набережные Челны. — 1997. — С. 5-6.

3. Долганов С.А., Поляков Д.В. Способ модификации толщины крылового профиля для обеспечения его статической устойчивости // Материалы Всероссийской молодежной научной школы-конференции по математическому моделированию процессов, геометрии и алгебре. — Казань. — 1998. — С. 40–44.

4. Долганов С. А., Ильинский Н. Б., Поляков Д. В. Построение крылового профиля по заданным распределениям толщины и нагрузки // Изв. вузов. Авиационная техника. — 1999. — № 1. — С. 25–28.

5. Долганов С.А. Построение профиля гидродинамической решетки по геометрическим и аэродинамическим характеристикам // Сборник трудов Девятого Всероссийского семинара по управлению и навигации летательных аппаратов. — Самара. — 1999. — С. 244–247.

6. Долганов С.А., Поташев А.В. Построение профиля гидродинамической решетки по геометрическим и аэродинамическим характеристикам // Тезисы Международной конференции "Математические модели и методы их исследования (задачи механики сплошной среды, экологии, технологических процессов, экономики)". — Красноярск. — 1999. — С. 91.

7. Долганов С.А., Поташев А.В. Построение гидродинамической решетки профилей по заданным распределениям толщины и нагрузки // Материалы Всероссийской научной конференции "Краевые задачи и их приложения". — Казань. — 1999. — С. 286–292.

8. Долганов С.А. Построение крылового профиля с учетом сжимаемости по заданным распределениям толщины и нагрузки // Труды Международной научной конференции "Моделирование, вычисление, проектирование в условиях неопределенности — 2000". — Уфа. — 2000. — С. 186–191.

9. Долганов С.А. Построение изолированного крылового профиля с учетом сжимаемости и вязкости по заданным распределениям толщины и нагрузки // Труды Международной научно-технической конференции "Современные проблемы аэрокосмической науки и техники". — Жуковский, ЦАГИ. — 2000. — С. 11–13.

10. Долганов С.А., Поташев А.В. Построение гидродинамической решетки профилей по заданным распределениям толщины и нагрузки // Изв. вузов. Авиационная техника. (принята в печать).

Отпечатано в ООО «ДАС»  
Лиц. № 0118 от 3.04.98 г.  
Тираж 100 экз. Заказ 08/15.  
420008, Казань, ул. Университетская, 17  
Тел. 64-69-26









200